

## МЕТОДИКА РАСЧЕТА СТАТИЧЕСКИХ ХАРАКТЕРИСТИК ЭЛЕКТРОПРИВОДОВ С ТИРИСТОРНЫМИ РШИП СО СМЕННЫМ ЗАКОНОМ КОММУТАЦИИ

В. А. БЕЙНАРОВИЧ, Л. С. УДУТ, В. С. ФАДЕЕВ, А. Е. ДЕЕВ

(Представлена научно-техническим семинаром НИИ АЭМ)

Основные выражения для расчета и построения статических электромеханических  $\Omega(I_a)$  или механических  $\Omega(M)$  характеристик электроприводов постоянного тока с тиристорными реверсивными широтно-импульсными преобразователями со сменным законом коммутации [1] определяются на основании анализа квазистабилизированных электромагнитных процессов [2] в различных режимах работы (рис. 1). Принимают-

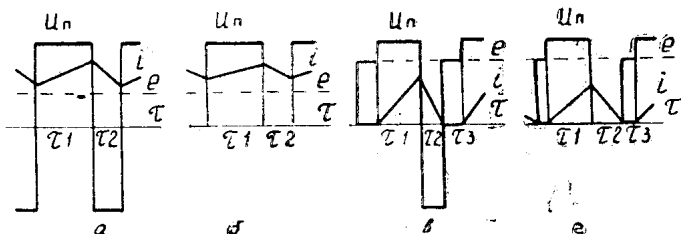


Рис. 1.

ся следующие допущения: вентили идеальные, параметры цепи преобразователь — двигатель постоянные, сопротивление источника питания равно нулю, э. д. с. двигателя за время периода коммутации не изменяется. Результаты анализа удобно представить в относительных единицах (см. приложение).

### Электромеханические характеристики электропривода

#### Симметричный закон коммутации

Исходные выражения, описывающие электромагнитные процессы на интервалах времени  $\tau_1$  и  $\tau_2$  (рис. 1a, b), имеют вид

$$\pm 1 = \tau \frac{di_a^*}{dt} + i_a^* + e^*. \quad (1)$$

В зоне непрерывных токов (рис. 1, a) электромеханические характеристики определяются выражением

$$\Omega = (2\tau_1 - 1) - I_a^*, \quad (2)$$

а в зоне прерывистого тока (рис. 1, b) строятся совместным решением следующих уравнений:

$$\Omega^* = E^* = 1 - \frac{2I_y^* \cdot \tau_y}{\tau_1^2 + 2\tau_1 \cdot \tau_2 - \tau_2^2}; \quad (3)$$

$$I_y^* = \frac{1 - E^*}{2\tau_y} \tau_1^2 + \frac{1 - E^*}{\tau_y} \tau_1 \tau_2 - \frac{1 + E^*}{2\tau_y} \tau_2^2; \quad (4)$$

$$\tau_2 = \tau_y \ln \left[ 1 + \frac{1 - E^*}{1 + E^*} \left( 1 - e^{-\frac{\tau_1}{\tau_2}} \right) \right]. \quad (5)$$

Граница режимов определяется следующими значениями граничной скорости вращения и тока двигателя:

$$\Omega_{rp1}^* = -\Omega_{rp2}^* = 2\tau_1 \left( 1 + \frac{\tau_1 - 1}{2\tau_y - 1} \right) - 1; \quad (6)$$

$$I_{y rp1}^* = -I_{y rp2}^* = \frac{4\tau_1 - 2\tau_1^2 - 1}{2\tau_y} - \frac{\Omega_{rp1}^*}{2\tau_y}. \quad (7)$$

Несимметричный закон коммутации

Исходные выражения для электромагнитных процессов в якорной цепи на интервалах времени  $\tau_1$  и  $\tau_2$  (рис. 1 б, г) имеют вид

$$\begin{aligned} 1 &= \tau_y i_y^* + i_y^* + e^*; \\ 0 &= \tau_y i_y^* + i_y^* + e^*. \end{aligned} \quad (8)$$

Тогда электромеханические характеристики в зоне непрерывных токов (рис. 1б) описываются выражением

$$\Omega^* = \tau_1 - I_y^*, \quad (9)$$

а в зоне прерывистого тока (рис. 1г) определяются совместным решением уравнений

$$\Omega^* = E^* = \frac{(\tau_1^2 + 2\tau_1 \tau_2) - 2I_y^* \tau_y}{\tau_1^2 + 2\tau_1 \tau_2 - \tau_2^2}; \quad (10)$$

$$I_y^* = \frac{1 - E^*}{2\tau_y} \tau_1^2 + \frac{1 - E^*}{\tau_y} \tau_1 \tau_2 - \frac{E^*}{2\tau_y} \tau_2^2; \quad (11)$$

$$\tau_2 = \tau_y \ln \left[ 1 + \frac{1 - E^*}{E^*} \left( 1 - e^{-\frac{\tau_1}{\tau_2}} \right) \right]. \quad (12)$$

Граница режимов определяется следующими значениями граничной скорости вращения и тока двигателя:

$$\Omega_{rp1}^* = 1 - \Omega_{rp2}^* = \frac{\tau_1 (2\tau_y - 2 + \tau_1)}{2\tau_y - 1}; \quad (13)$$

$$I_{y rp1}^* = -I_{y rp2}^* = \frac{\tau_1 (1 - \tau_1)}{2\tau_y - 1}. \quad (14)$$

По найденным выражениям рассчитаны и приведены на рис. 5 (тонкие линии) электромеханические характеристики разомкнутой системы электропривода РШИП-Д со сменным законом коммутации при численном значении  $\tau_y = 5,5$ .

### Регулировочные характеристики РШИП при работе на двигатель постоянного тока

Регулировочные характеристики преобразователя целесообразно представить в виде зависимостей  $E^*_{pr}(\tau_1)$  при  $I_y^* = \text{const}$ , а влияние

внутреннего сопротивления преобразователя при расчетах учесть соответствующим увеличением сопротивления якорной цепи двигателя. Вид характеристик зависит от закона коммутации и режима работы преобразователя.

Режим непрерывного тока (рис. 1 $a$ ,  $b$ ). При непрерывном токе регулировочные характеристики преобразователя (рис. 3) рабочей части линейны, имеют зону насыщения и определяются при симметричном и несимметричном законе коммутации соответственно следующими выражениями:

$$E_{\text{пр}}^* = 2\tau_1 - 1; \quad (15)$$

$$E_{\text{пр}}^* = \tau_1. \quad (16)$$

Режим прерывистого тока (рис. 1 $c$ ,  $g$ ). В этом случае регулировочные характеристики преобразователя в рабочей части существенно нелинейны и зависят от тока якоря и скорости вращения (э. д. с.) двигателя, которые, однако, связаны между собой однозначно выражениями (4), (5) и (11), (12). Учитывая, что всегда выполняется условие

$$E_{\text{пр}}^* = E^* + I_{\text{я}}^*$$

на основании (3) и (10), выражение для регулировочной характеристики преобразователя в режиме прерывистого тока для случая симметричного закона коммутации (рис. 1 $c$ ) определяется выражением

$$E_{\text{пр}}^* = 1 - \frac{I_{\text{я}}^*(2\tau_2 - \tau_1^2 - 2\tau_1\tau_2 + \tau_2^2)}{\tau_1^2 + 2\tau_1\tau_2 - \tau_2^2} \quad (17a)$$

или в соответствии с рис. 1 $c$

$$E_{\text{пр}}^* = (\tau_1 - \tau_2) + E^* \tau_3. \quad (17b)$$

При несимметричном законе коммутации в режиме прерывистого тока (рис. 1 $g$ ) регулировочная характеристика преобразователя определяется выражением

$$U_{\text{пр}}^* = (\tau_1^2 + 2\tau_1\tau_2) - I_{\text{я}}^*(2\tau_2 - \tau_1^2 - 2\tau_1\tau_2 + \tau_2^2) \quad (18a)$$

или в соответствии с рис. 1 $g$

$$E_{\text{пр}}^* = \tau_1 + E^* \tau_3. \quad (18b)$$

На рис. 2 приведены регулировочные характеристики РШИП при работе на двигатель постоянного тока, рассчитанные по выражениям (17) и (18).

Аналогичным образом по выражениям (3)–(5) и (10)–(12) могут быть рассчитаны и построены внешние характеристики преобразователя  $E_{\text{пр}}^*(I_{\text{я}}^*)$  при  $\tau_1 = \text{const}$  и регулировочные характеристики системы ШИП-Д  $\Omega^*(\tau_1)$  при  $I_{\text{я}}^* = \text{const}$ , которые также будут нелинейны в режиме прерывистого тока.

Регулировочная характеристика РШИП со сменным законом коммутации определяется выражениями (15), (16), (17), (18) и даже в режиме непрерывного тока (рис. 3) оказывается существенно нелинейной — имеет зоны насыщения, нечувствительности и различный наклон линейной части в зависимости от режима работы преобразователя.

### Статические характеристики замкнутой системы РШИП-Д

При представлении преобразователя линейным звеном, что возможно только в области непрерывных токов, выбор параметров замкнутой системы стабилизации скорости и расчет ее статических характеристик производится обычными методами и затруднений не вызывает.

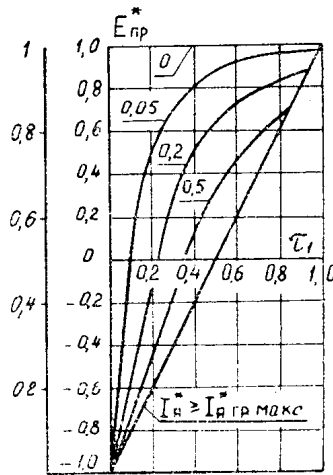


Рис. 2.

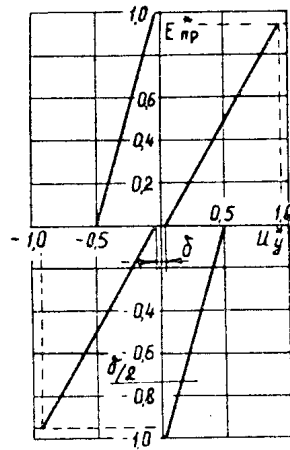


Рис. 3.

Учет всех указанных нелинейностей системы РШИП-Д может быть произведен при графоаналитическом методе расчета статических характеристик замкнутой системы. Для этого по изложенной выше методике необходимо предварительно рассчитать и построить статические характеристики разомкнутой системы  $\Omega^*(I_{\text{я}}^*)$  при  $t_1=\text{const}$  (рис. 5), характеристики управления ШИМ по двум входам  $\tau_1(U_{y1}^*)$  и  $\tau_2(U_{y2}^*)$  (рис. 4 б), характеристику БОС  $U_{y1}^*(\Omega^*)$  при  $U_{\text{зад}}=\text{const}$  (рис. 4 а), характеристи-

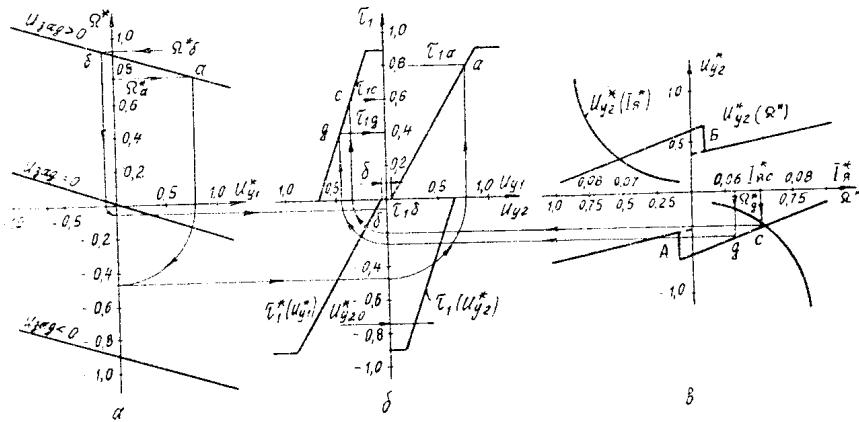


Рис. 4.

ку БТО  $U_{y2}^*(I_{\text{я}}^*)$  — при использовании схемы отсечки или  $U_{y2}^*(\Omega)$  — при использовании упреждающего токоограничения (рис. 4в). Порядок построения статических характеристик замкнутой системы при заданном значении  $U_{\text{зад}}$  ясен из рис. 4 и 5. Характеристики (рис. 5, толстые линии) оказываются нелинейными в области малых нагрузок и в области действия токовой отсечки (толстые сплошные линии) или упреждающего токоограничения (толстые пунктирные линии).

Предложенная методика позволяет по требуемому виду статической характеристики замкнутой системы синтезировать характеристики и параметры ШИМ, БОС, БТО с учетом имеющихся в системе нелинейностей, что особенно важно при проектировании высокоточных систем. Следует отметить, что введение порога  $U_{y20}$  срабатывания по каналу  $U_{y2}$  управления модуляторами позволяет исключить влияние нелинейности начального участка характеристики нелинейного элемента токо-

вой отсечки, определяемой величиной  $U_{y20}$ , соответствующей началу действия отсечки.

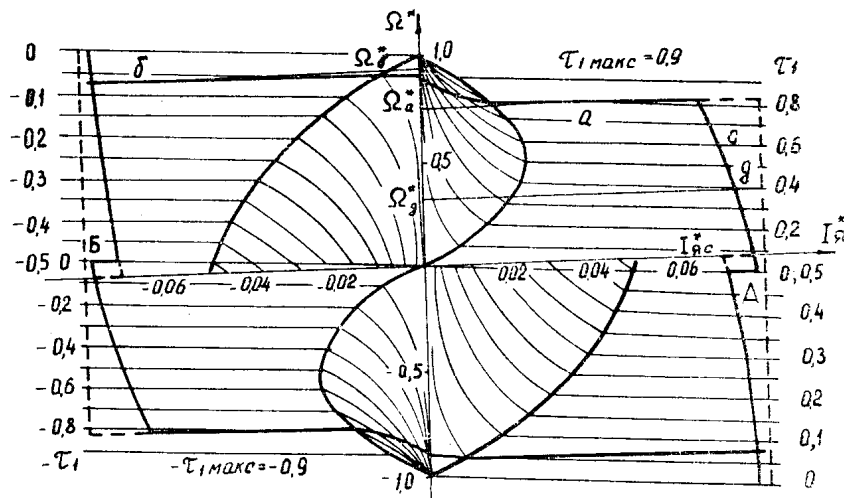


Рис. 5.

Буквами А и Б на рис. 4 и 5 обозначены моменты переключения закона коммутации в соответствии с найденным точным (сплошные линии) и упрощенным (пунктирные линии) условием его смены.

### Приложение

$U_{\text{пп}}$ ,  $E_{\text{пп}}$ ,  $R_{\text{пп}}$ ,  $E$ ,  $I_{\text{я}}$ ,  $M$ ,  $\Omega$ ,  $R_{\text{я}}$ ,  $L_{\text{я}}$ ,  $U_{\text{зад}}$ ,  $U_y$  — средние значения напряжения источника питания; э. д. с. и внутреннего сопротивления преобразователя; э. д. с., тока, момента, скорости вращения, сопротивления и индуктивности цепи якоря двигателя; задающего напряжения и напряжения управления.

$e$ ,  $i_{\text{я}}$  — мгновенные значения э. д. с. и тока двигателя;

$U_6 = U_{\text{пп}}$  — базовое значение напряжения;

$R_6 = R_{\text{я}} + R_{\text{пп}}$  — базовое сопротивление;

$I_6 = \frac{U_6}{R_6}$  — базовое значение тока;

$\Omega_6 = \frac{U_6}{C_e}$  — базовое значение скорости;

$T_6 = T_k$  — базовое значение времени, равное периоду коммутации преобразователя;

$T_{\text{я}} = \frac{L_{\text{я}}}{R_{\text{я}}}$  — постоянная времени цепи обмотки якоря двигателя.

Обозначения величин в относительных единицах:

$U^* = \frac{U}{U_6}$  — напряжение,

$E^* = \frac{E}{U_6}$  — э. д. с.,

$I_{\text{я}}^* = \frac{I_{\text{я}}}{I_6}$  — ток якоря,

$\Omega^* = \frac{\Omega}{\Omega_6}$  — скорость вращения,

$R^* = \frac{R}{R_6}$  — сопротивление,

$\tau = \frac{t}{T_6}$  — время,

$U_y^* = \frac{U_y}{U_{y\max}}$  — напряжение управления.

$\Omega_{\text{grp1}}^*, I_{\text{я grp1}}^*$ ,  $\Omega_{\text{grp2}}^*, I_{\text{я grp2}}^*$  — граничные значения скорости и тока соответственно в I и IV квадрантах и во II и III квадрантах.

#### ЛИТЕРАТУРА

1. В. А. Бейнарович, Л. С. Удут, В. С. Фадеев, А. Е. Деев. Принципы построения быстродействующих реверсивных электроприводов с тиристорными широтно-импульсными преобразователями со сменным законом коммутации. Настоящий сборник.

2. Л. С. Удут, В. С. Фадеев, В. А. Бейнарович. Расчет механических характеристик электродвигателей при питании от тиристорных РЛИП с симметричным управлением. Известия ТПИ, т. 262, изд-во ТГУ, 1972.